

Ondes gravitationnelles dans des systèmes binaires à grand rapport de masse

17eme journée CaSciModOT

RITTER Patxi

(LPC2E - MAPMO)



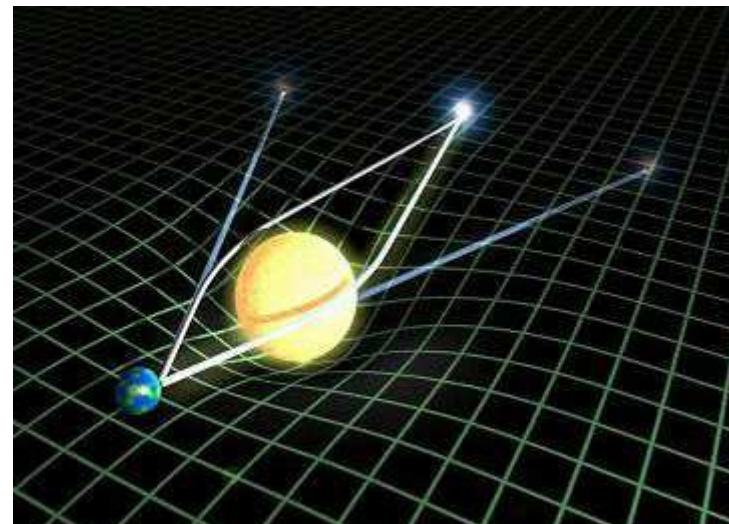
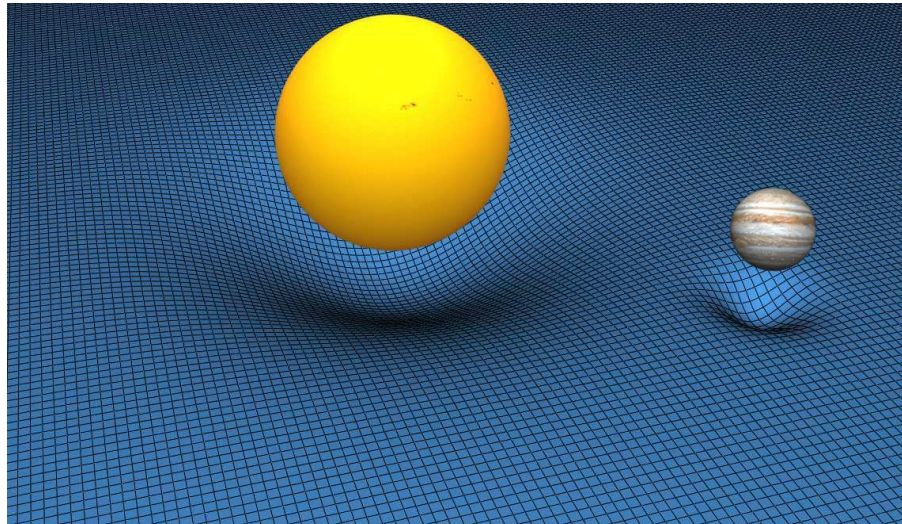
Plan

- Ondes gravitationnelles
- Modélisation dans le cas des EMRIs
- Optimisation du code de calcul
- Réaction de radiation



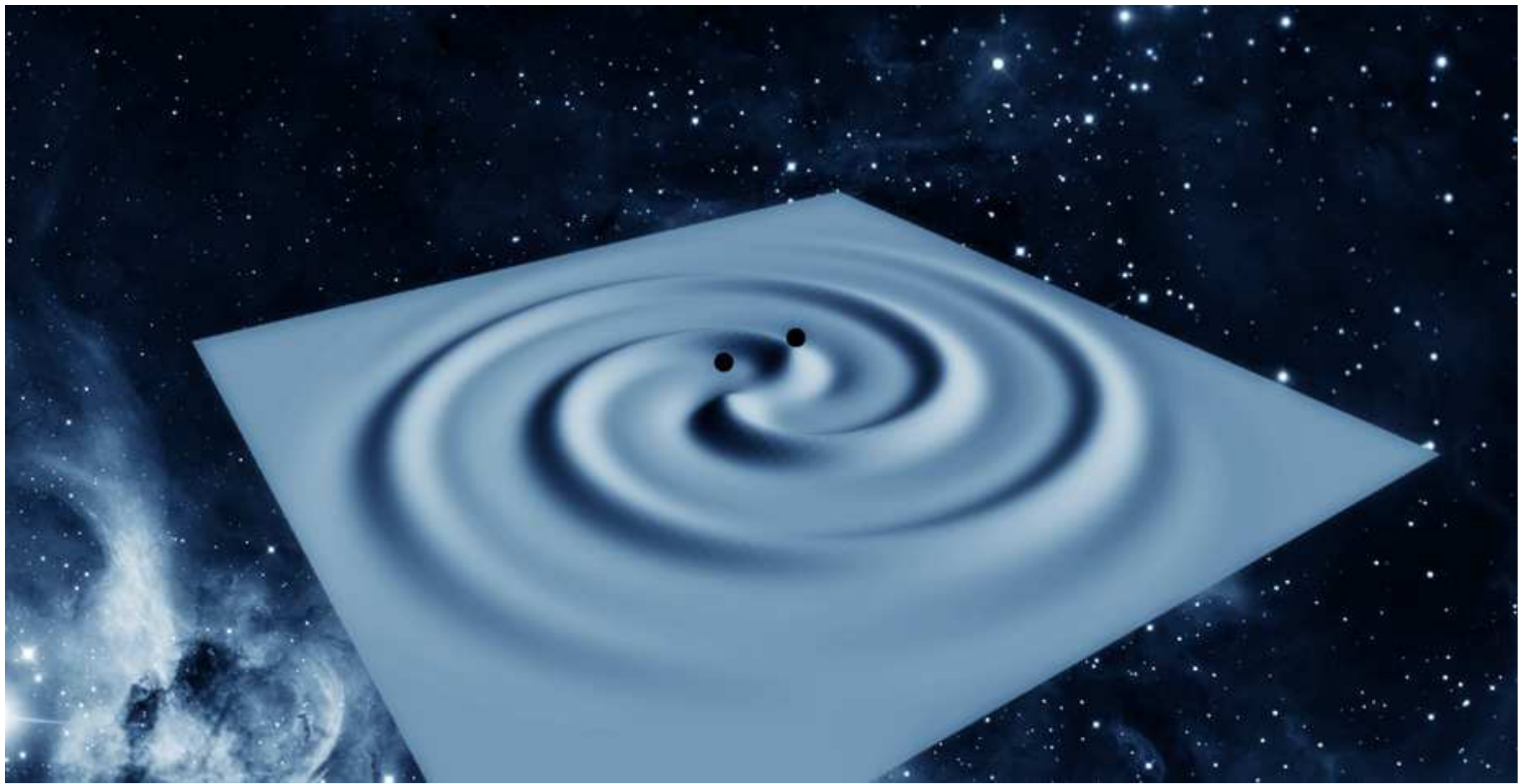
Ondes gravitationnelles

- Relativité Générale : Cadre formel décrivant l'interaction entre matière et géométrie de l'espace-temps (Einstein 1915).
 - Espace-temps : Variété différentielle décrite localement par les 10 composantes du tenseur métrique $g_{\mu\nu}$ obéissant à l'équation de champ d'Einstein



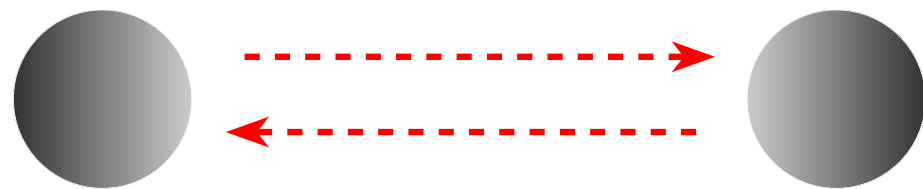
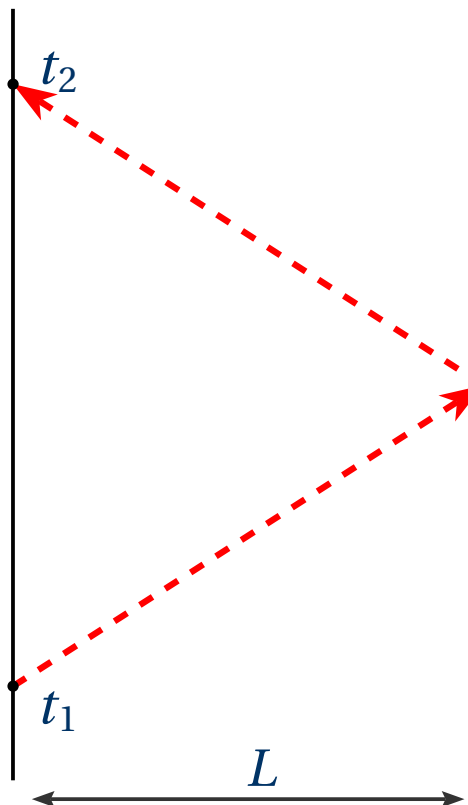
Ondes gravitationnelles

- Onde Gravitationnelle (OG) : déformation de la courbure de l'espace-temps qui se propage à la vitesse de la lumière.
- OG engendrées par le mouvement et la dynamique de la source.



Ondes gravitationnelles

- Onde Gravitationnelle (OG) : déformation de la courbure de l'espace-temps qui se propage à la vitesse de la lumière.
- OG engendrées par le mouvement et la dynamique de la source.
- Mesure de variation relative de distance entre 2 points matériels (par interférométrie).



$$L = \frac{1}{2}c(t_2 - t_1)$$

Variation de la longueur L au passage d'une OG

$$\delta L / L \approx 10^{-21} !!$$

Ondes gravitationnelles

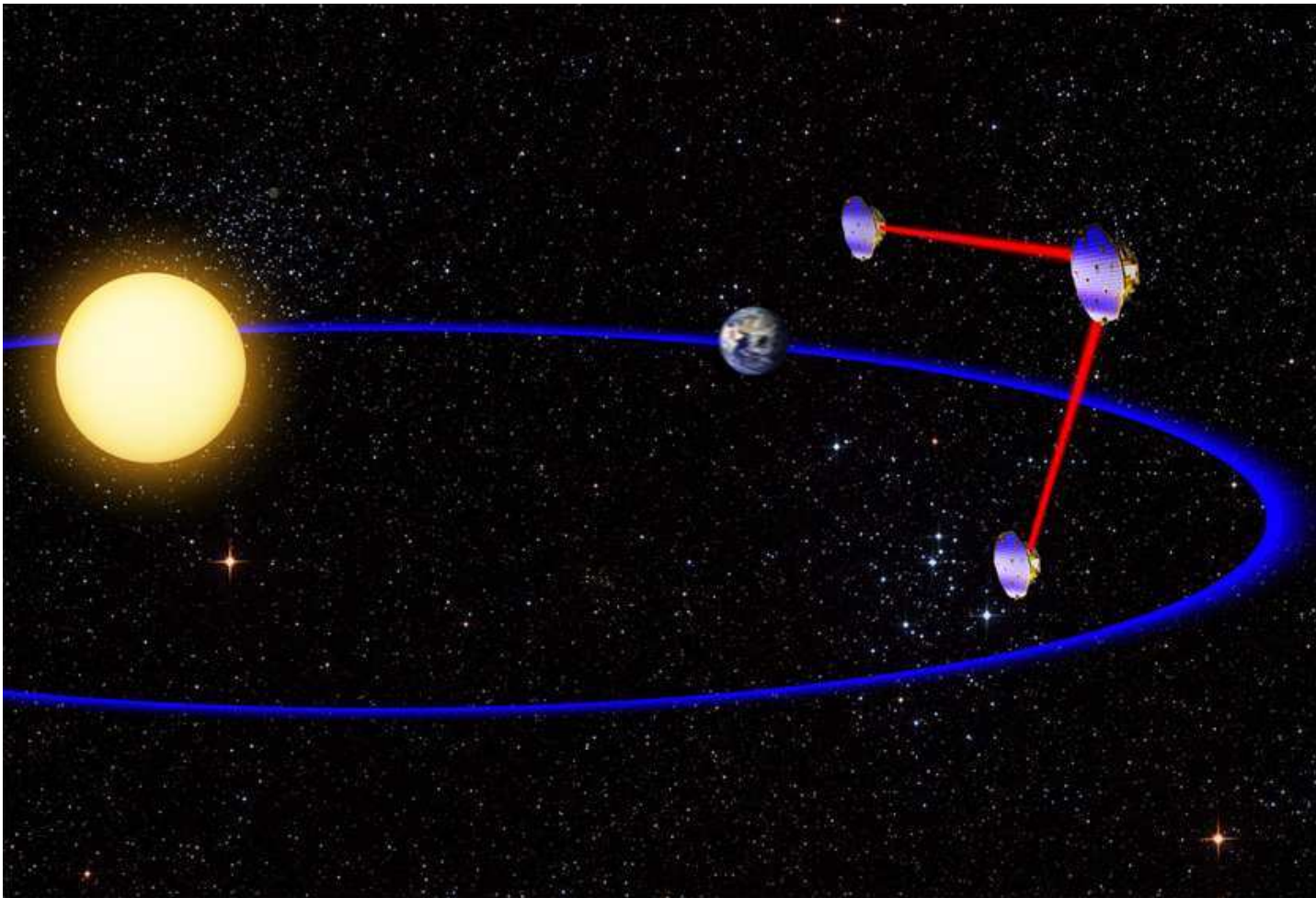


Détecteur interférométrique VIRGO sur le site de Cascina, près de Pise

Cibles : TN binaire ($5M_{\odot} < M < 20M_{\odot}$), pulsar binaire ($1.4M_{\odot}$).

Bandé de fréquence : 10Hz - 1kHz

Ondes gravitationnelles



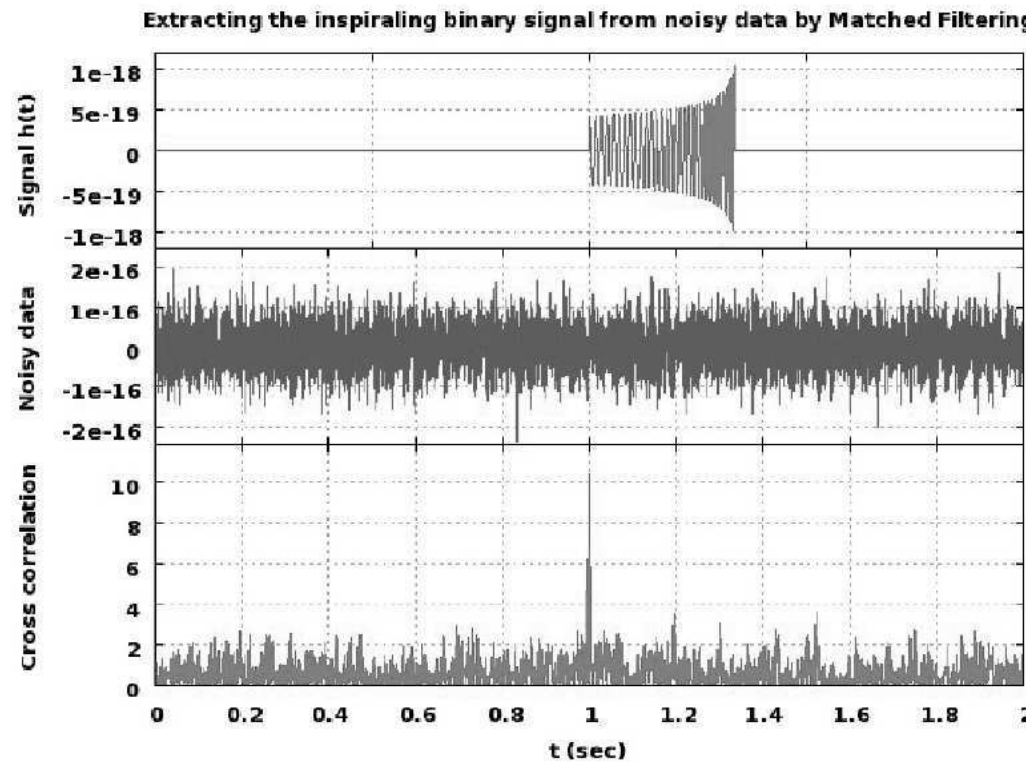
Laser Interferometer Space Antenna ([LISA/NGO](#))

Cibles : TN super-massifs ($10^6 M_\odot < M < 10^8 M_\odot$), EMRIs.

Bandé de fréquence : $10^{-4}\text{Hz} - 0.1\text{Hz}$

Modélisation, cas des EMRIs

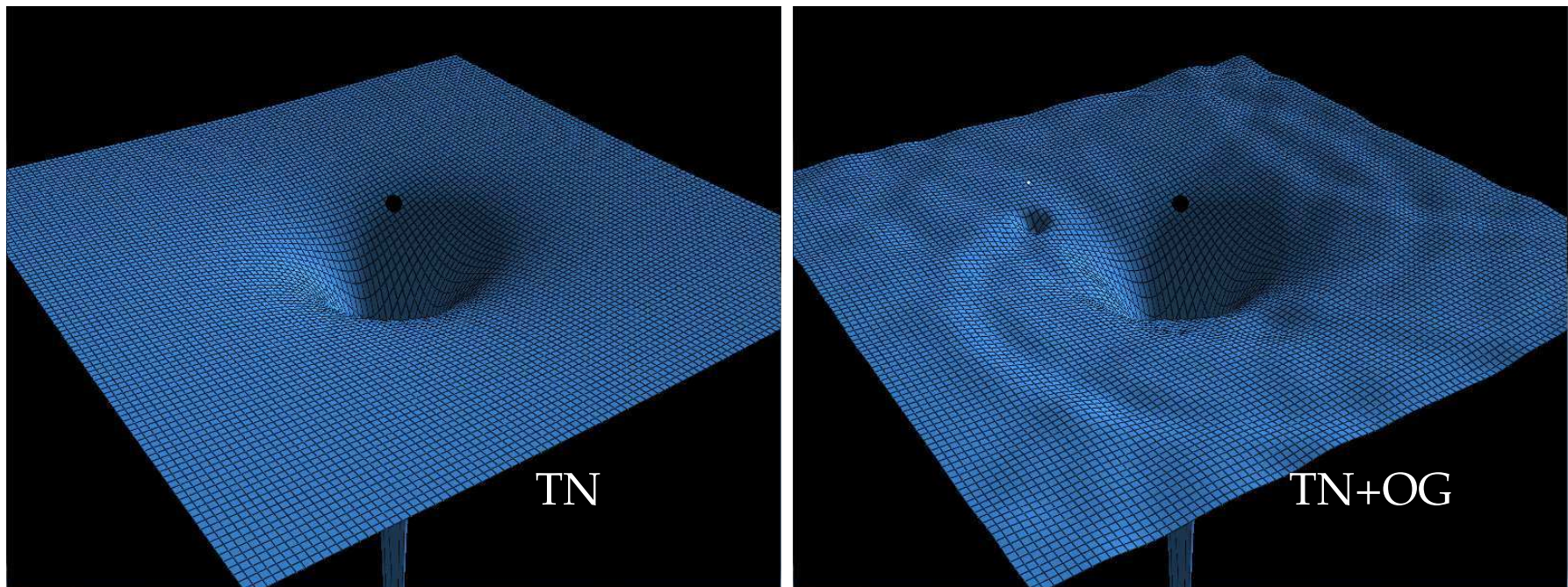
Intérêt de la modélisation :



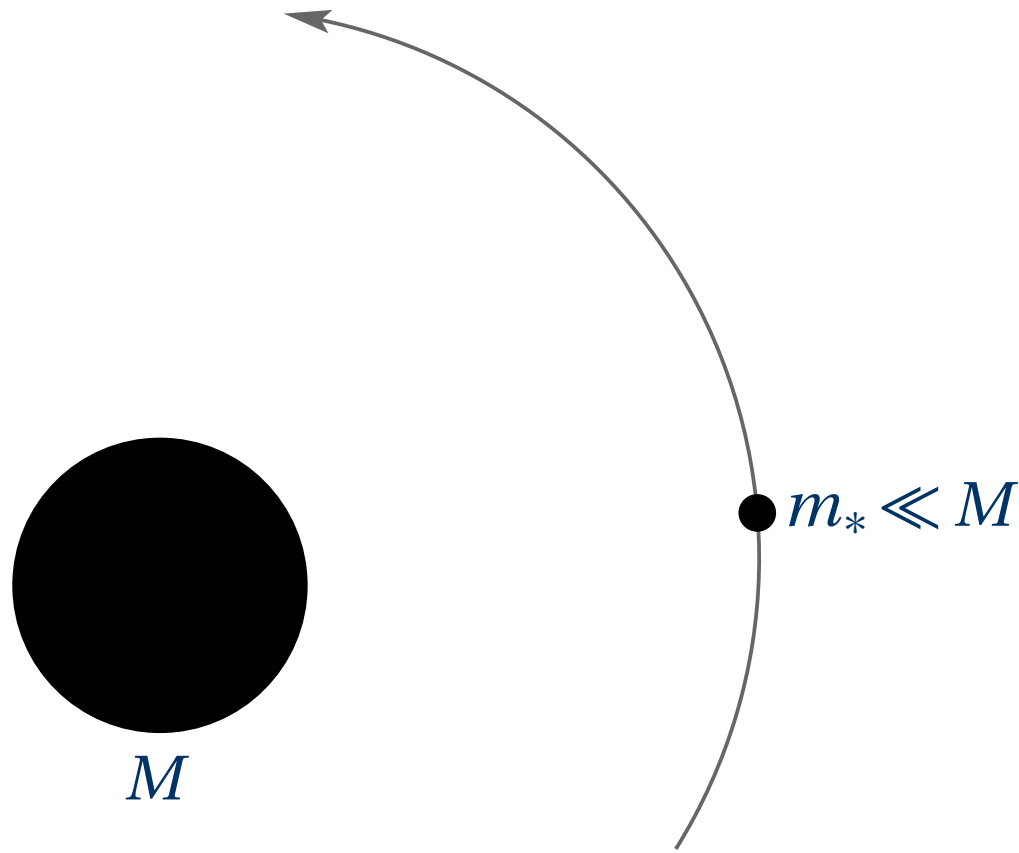
- Dans la technique de filtres adaptés on corrèle la sortie bruitée du détecteur avec la forme d'onde prédictive par la théorie ou patron d'onde.
- Le patron d'onde doit rester en phase avec la forme d'onde exacte aussi longtemps que possible.

Modélisation, cas des EMRIs

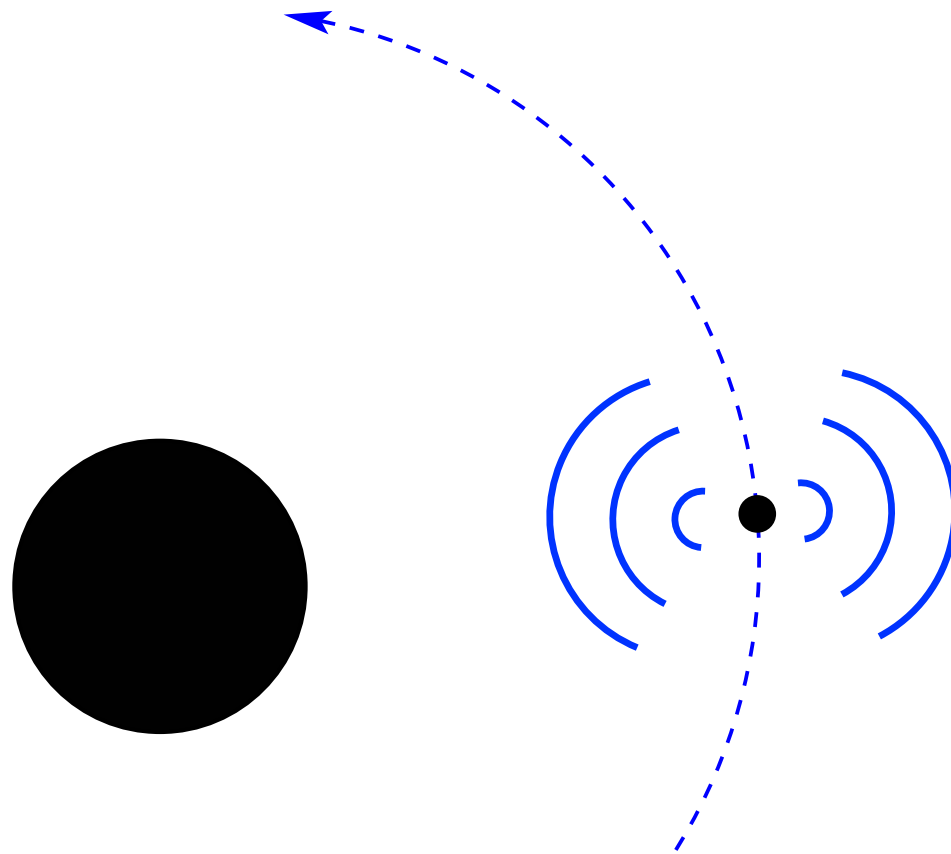
- Trou noir (TN) : Objet compact formant une singularité de l'espace-temps = degré de courbure infini
- Liens intimes entre trous noirs et OG
 - ◆ TN et OG sont des **distorsions de l'espace-temps** (extrême pour le TN, minime pour les OG)
 - ◆ TN et OG sont tous deux **solutions du vide** des équations d'Einstein.



Modélisation, cas des EMRIs



Modélisation, cas des EMRIs



Modélisation, cas des EMRIs

- Extreme Mass Ratio Inspiral
- Perturbation de la métrique

$$g_{\mu\nu} = g_{\mu\nu}^{\text{Trou Noir}} + h_{\mu\nu}$$

$$h_{\mu\nu} \sim O(m_*/M)$$

- Linéarisation des équations de champ

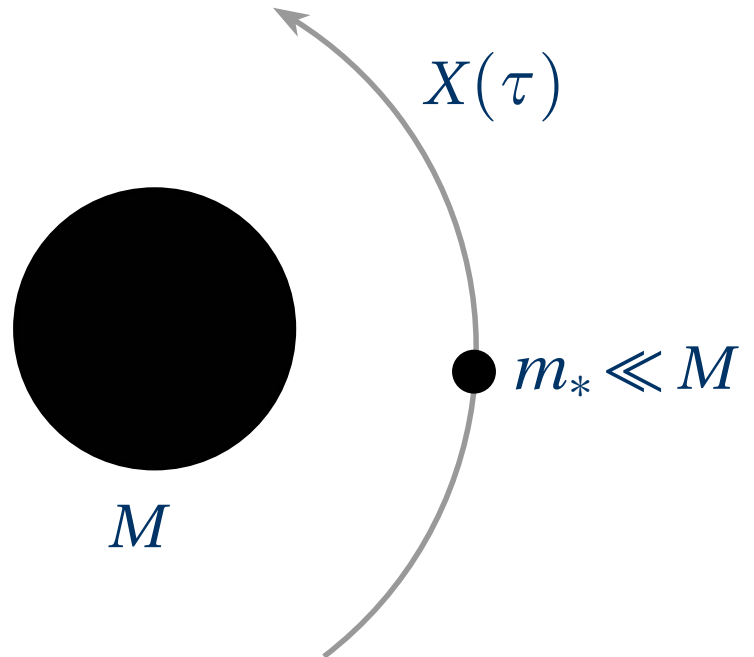
$$G_{\mu\nu} \left[g_{\mu\nu}^{\text{Trou Noir}} + h_{\mu\nu} \right] = \frac{8\pi G}{c^4} \delta T_{\mu\nu}$$

- Etoile supposée ponctuelle

$$\delta T_{\mu\nu} = m_* \int_{-\infty}^{+\infty} \delta^{(4)}(x^\alpha - X^\alpha(\tau)) \frac{dX^\mu}{d\tau} \frac{dX^\nu}{d\tau} d\tau$$

- Décomposition sur une base d'harmoniques tensoriels

$$h_{\mu\nu} = \sum_{\ell,m} \sum_{i=1}^{10} h^{(i)\ell m}(r,t) Y_{\mu\nu}^{(i)\ell m}(\theta, \phi)$$



Modélisation, cas des EMRIs

Equation de Regge-Wheeler-Zerilli

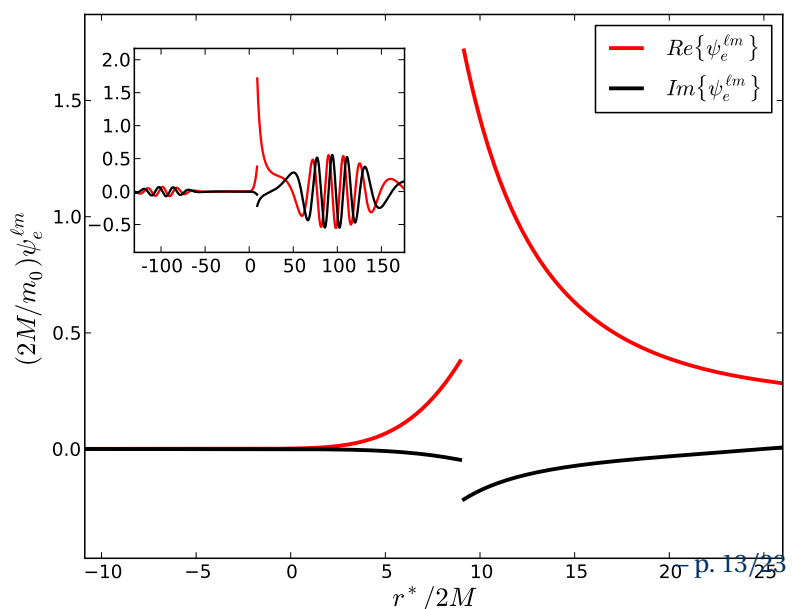
$$\left[-\frac{\partial^2}{\partial t^2} + \frac{\partial^2}{\partial r^*{}^2} - V_{e/o}(r)^{\ell} \right] \psi_{e/o}^{\ell m}(r, t) = F_{e/o}^{\ell m}(t) \frac{\partial}{\partial r} \delta(r - R(t)) + G_{e/o}^{\ell m}(t) \delta(r - R(t))$$

- $\psi_e^{\ell m}$ fonction d'onde paire } exprimées à partir des $h^{(i)\ell m}$
- $\psi_o^{\ell m}$ fonction d'onde impaire }
- Discontinues à la position de la particule.
- Liées à l'énergie du système $\frac{dE}{dt} = \frac{1}{64} \sum_{\ell m} \frac{(\ell+2)!}{(\ell-2)!} [|\psi_e^{\ell m}|^2 + |\psi_o^{\ell m}|^2]$

$V_{e/o}^{\ell}, F_{e/o}^{\ell m}, G_{e/o}^{\ell m}$ fonctions analytiques

$r^* = r + 2M \ln \left(\frac{r}{2M} - 1 \right)$ coordonnée tortue

$R(t)$ trajectoire de la particule



Modélisation, cas des EMRIs

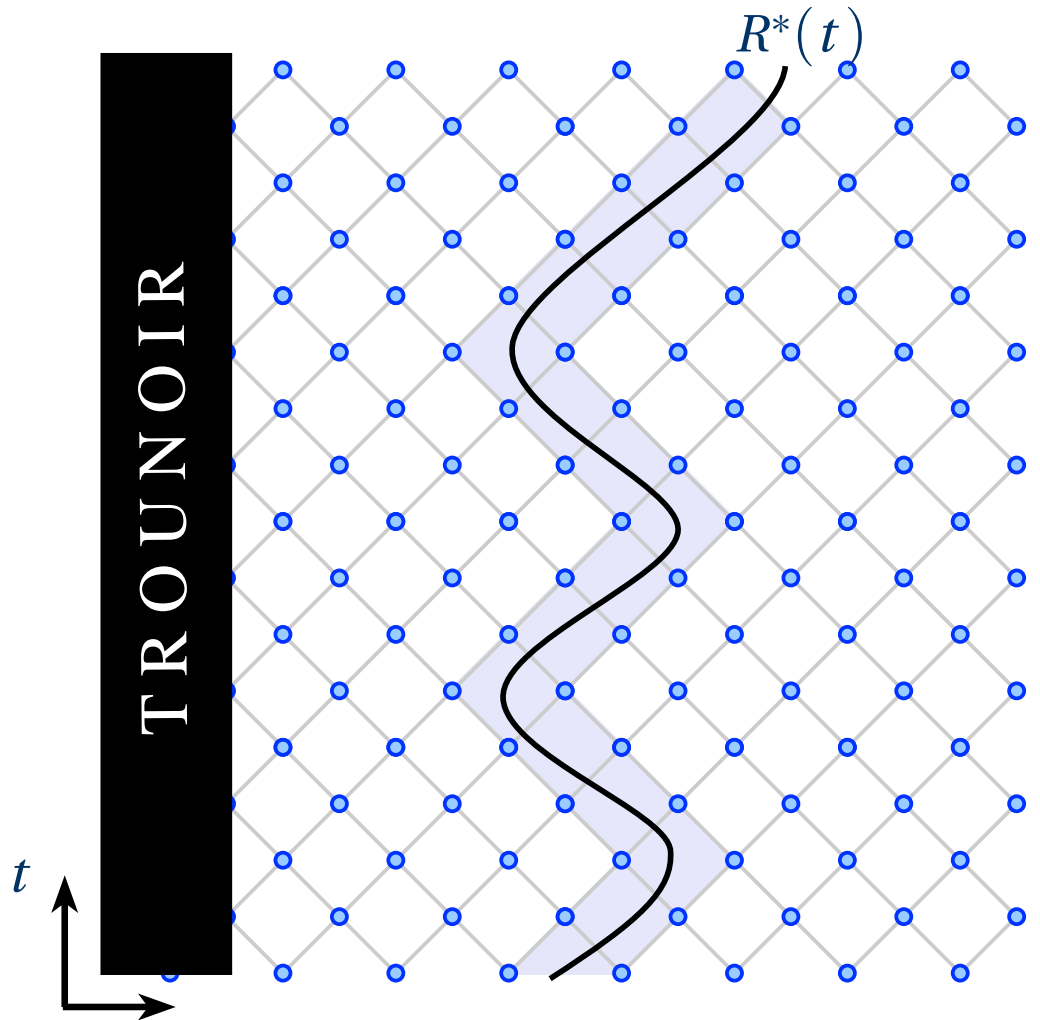
Exemple pour des orbites génériques $\{t, R(t), \Theta(t), \Phi(t)\}$

$$\begin{aligned}
 F_o^{\ell m}(t) &= \frac{8K}{\lambda} R \left(\dot{R}^2 - f(R)^2 \right) \bar{A}^{\ell m} \\
 G_o^{\ell m}(t) &= -\frac{8K}{\lambda} R \dot{R} \frac{d \bar{A}^{\ell m}}{dt} - \frac{8K}{\lambda} \left[\frac{R}{U^0} \frac{d}{dt} (U^0 \dot{R}) + (\dot{R}^2 - f(R)) \right] \bar{A}^{\ell m} \\
 V_o^\ell(r) &= 2f(r) \left(\frac{\lambda+1}{r^2} - \frac{3M}{r^3} \right)
 \end{aligned}$$

$$\begin{aligned}
 F_e^{\ell m}(t) &= -8K \frac{R f(R) (\dot{R}^2 - f(R)^2)}{\lambda R + 3M} \bar{Y}^{\ell m} \\
 G_e^{\ell m}(t) &= 16K \frac{R \dot{R} f(R)}{\lambda R + 3M} \frac{d \bar{Y}^{\ell m}}{dt} - 16 \frac{K}{\lambda} R f(R) \dot{\Theta} \dot{\Phi} \partial_\phi \left(\partial_\theta - \cot \Theta \right) \bar{Y}^{\ell m} + 8K \frac{R^2 f(R)^2}{\lambda R + 3M} \left(\dot{\Theta}^2 + \sin^2 \Theta \dot{\Phi}^2 \right) \bar{Y}^{\ell m} \\
 &\quad - 4 \frac{K}{\lambda} R f(R) \left(\dot{\Theta}^2 - \sin^2 \Theta \dot{\Phi}^2 \right) \left(\partial_\theta^2 - \cot \Theta \partial_\theta - \frac{1}{\sin^2 \Theta} \partial_\phi^2 \right) \bar{Y}^{\ell m} \\
 &\quad + 8K \frac{\dot{R}^2 [(\lambda+1)(6RM + \lambda R^2) + 3M^2]}{R(\lambda R + 3M)^2} \bar{Y}^{\ell m} - 8K \frac{f(R)^2 [R^2 \lambda (\lambda+1) + 6\lambda RM + 15M^2]}{R(\lambda R + 3M)^2} \bar{Y}^{\ell m} \\
 V_e^\ell(r) &= 2f(r) \frac{[\lambda^2(\lambda+1)r^3 + 3\lambda^2 M r^2 + 9\lambda M^2 r + 9M^3]}{r^3(\lambda r + 3M)^2}
 \end{aligned}$$

où $K = (\pi m_0 U^0)/(\lambda+1)$, $\lambda = \frac{1}{2}(\ell-1)(\ell+2)$, $f(r) = 1 - 2M/r$ et $A^{\ell m} = \left(\frac{\dot{\Theta}}{\sin \Theta} \partial_\phi - \sin \Theta \dot{\Phi} \partial_\theta \right) Y_{-\text{p. } 14/23}^{\ell m}$

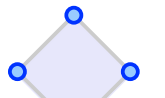
Modélisation, cas des EMRIs



$$R(\chi) = \frac{pM}{1 + e \cos \chi},$$

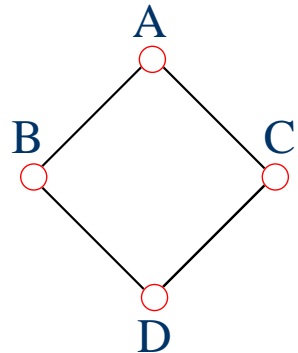
$$\frac{d\chi}{dt} = \frac{(p-2-2e \cos \chi)(1+e \cos \chi)^2}{Mp^2} \sqrt{\frac{p-6-2e \cos \chi}{(p-2)^2-4e^2}}$$

$$\frac{d\Phi}{dt} = \frac{(p-2-2e \cos \chi)(1+e \cos \chi)^2}{p^{3/2} M \sqrt{(p-2)^2-4e^2}}$$

 Différence finie d'ordre 2
 Zone de discontinuité

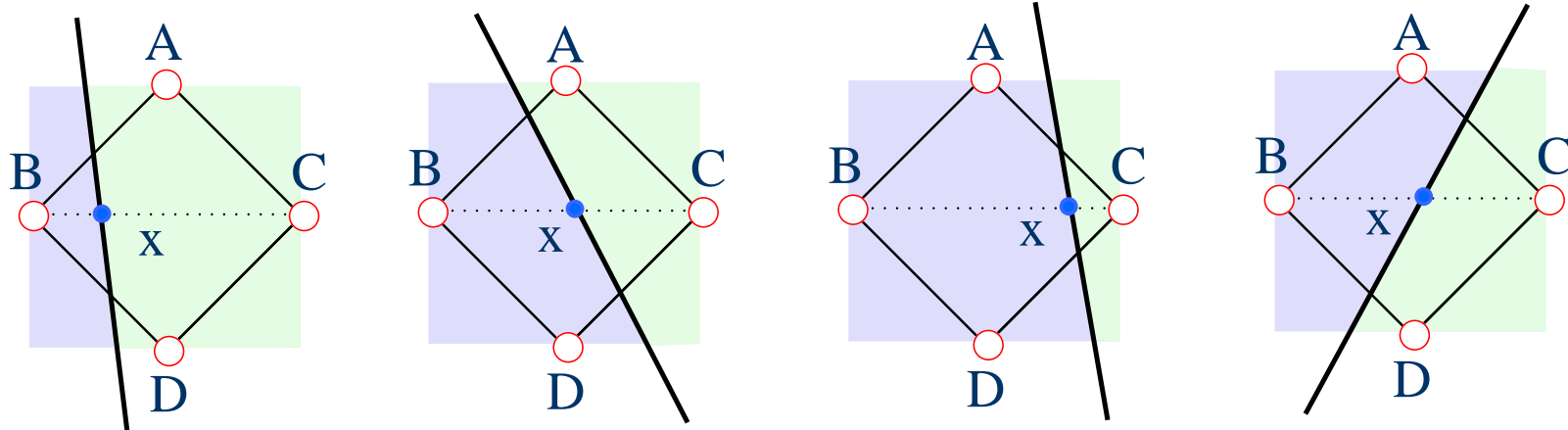
Modélisation, cas des EMRIs

■ Cellules vides



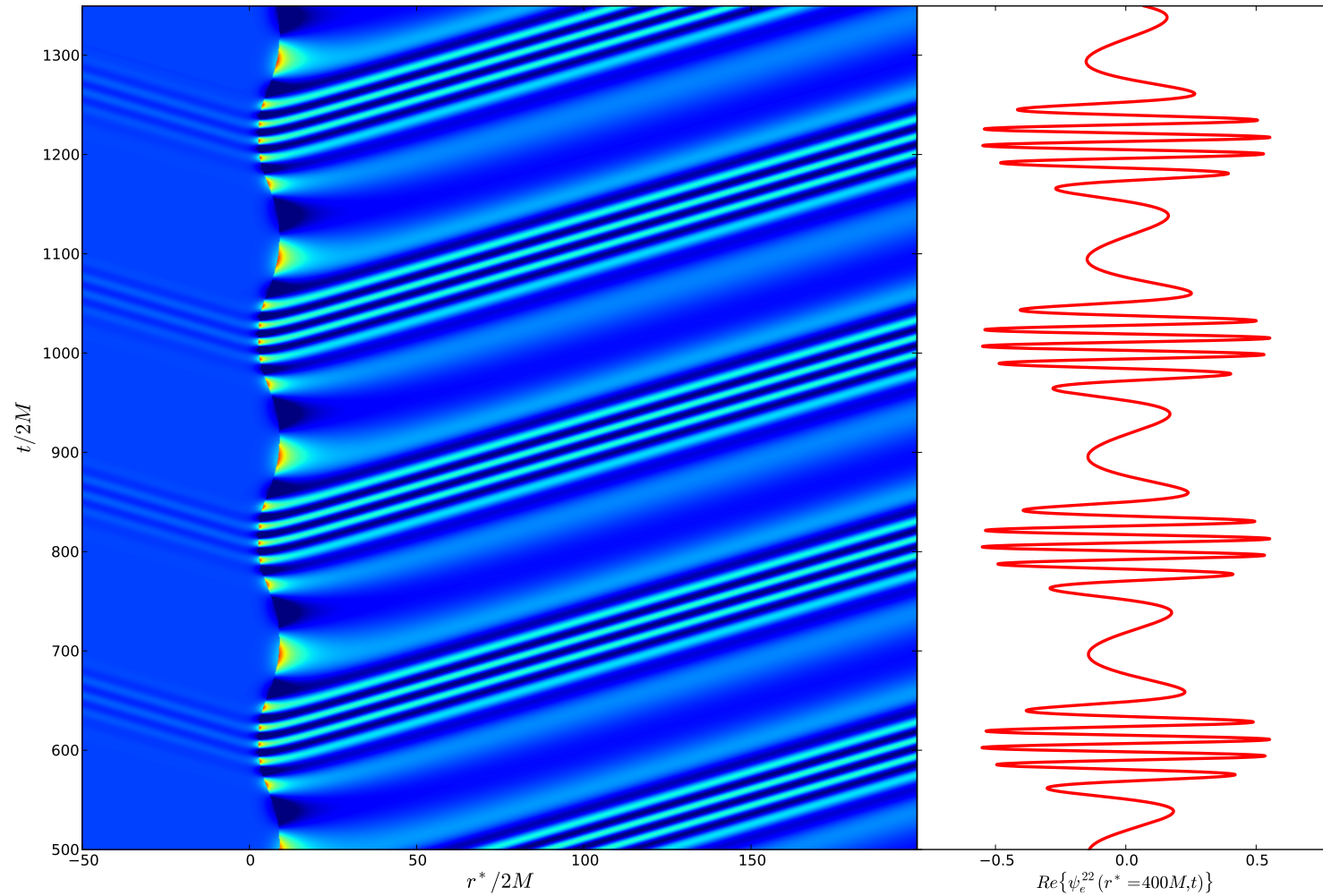
$$\psi_A^{\ell m} = -\psi_D^{\ell m} + (\psi_B^{\ell m} + \psi_C^{\ell m}) \left(1 - \frac{\Delta r^{*2}}{2} V(r) \right) + O(\Delta r^{*3})$$

■ Cellules traversées par la trajectoire = zone de discontinuité de la fonction d'onde



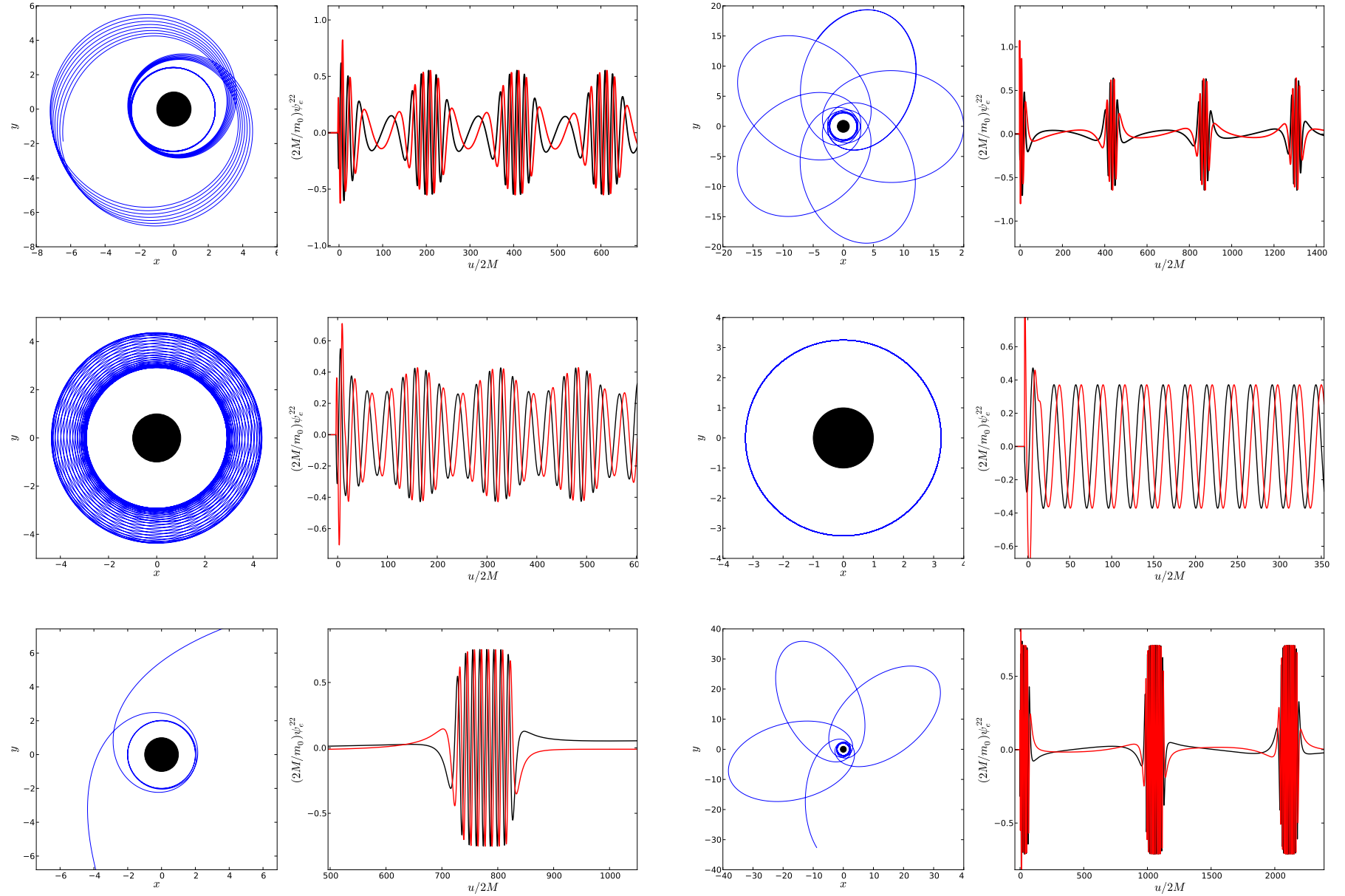
$$\psi_A^{\ell m} = b\psi_B^{\ell m} + c\psi_C^{\ell m} + d\psi_D^{\ell m} + \sum_{p+q<3} \alpha_{pq} [\partial_t^p \partial_{r^*}^q \psi_x^{\ell m}] + O(\Delta r^{*3})$$

Modélisation, cas des EMRIs



Exemple pour une orbite elliptique ($e = 0.5$) dans le cas du mode quadrupolaire $(\ell, m) = (2, 2)$

Modélisation, cas des EMRIs



Optimisation du code de calcul

Code en C (lib. GSL pour fonctions spéciales, syst. linéaires, ODE et harmoniques sphériques)

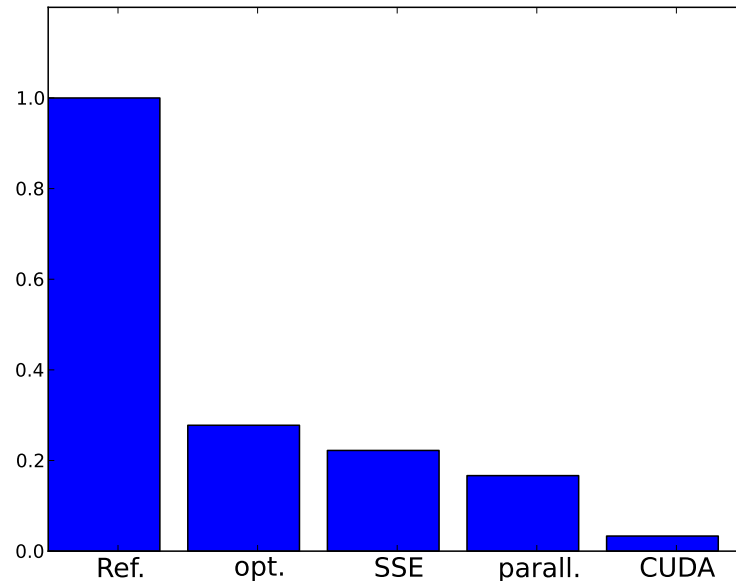
Cas de l'équation homogène (cellules vides).

$$\left[-\frac{\partial^2}{\partial t^2} + \frac{\partial^2}{\partial r^2} - V(r)^\ell \right] \psi^{\ell m}(r, t) = 0$$

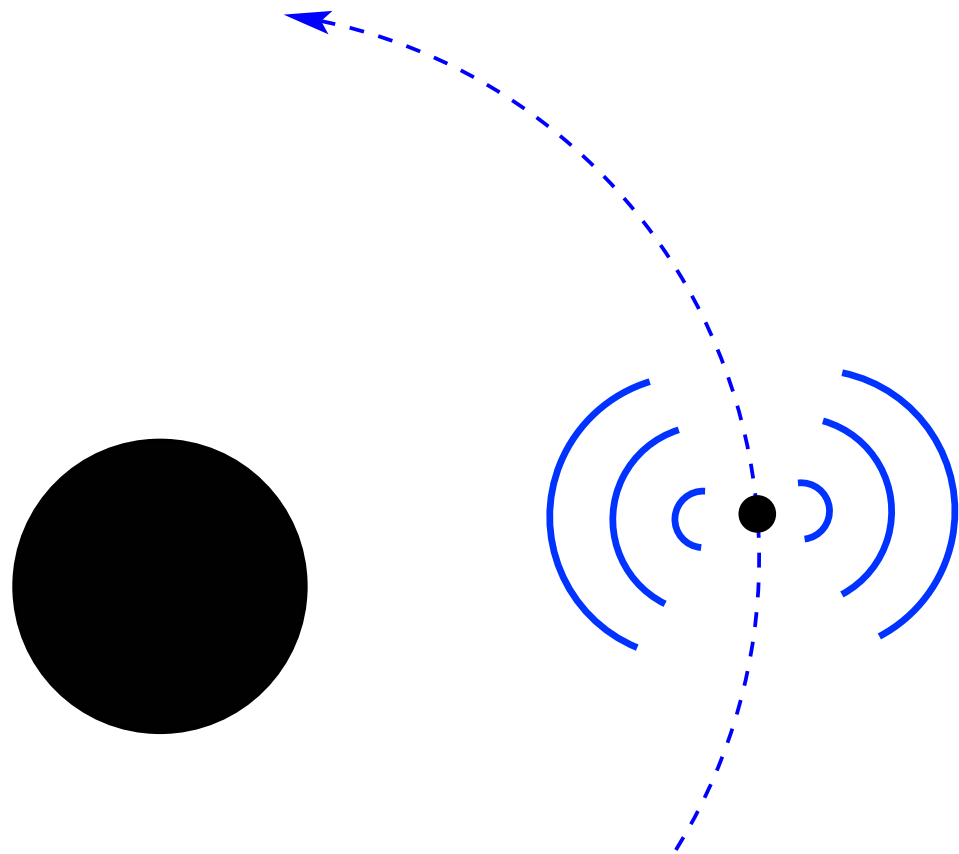
Stages étudiants au LIFO encadrés par S. Jubertie

- version C++
- Optimisation des routines de calcul
- SSE
- Threads Open MP
- CUDA

Gain de plus d'un ordre de grandeur en temps de calcul

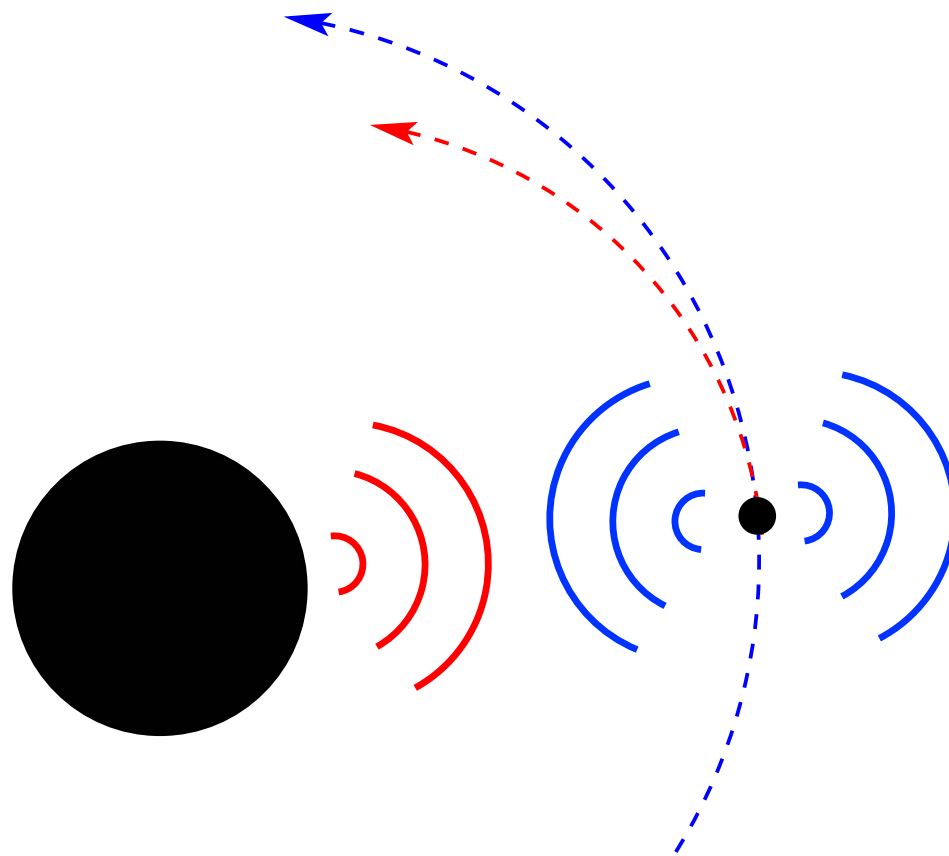


Réaction de radiation



$$\frac{d^2x^\alpha}{d\tau^2} + \Gamma_{\beta\gamma}^\alpha \frac{dx^\beta}{d\tau} \frac{dx^\gamma}{d\tau} = 0$$

Réaction de radiation



$$\frac{d^2x^\alpha}{d\tau^2} + \Gamma_{\beta\gamma}^\alpha \frac{dx^\beta}{d\tau} \frac{dx^\gamma}{d\tau} = -\frac{1}{2} (g^{\alpha\lambda} + u^\alpha u^\lambda) (2\nabla_\mu h_{\lambda\nu} - \nabla_\lambda h_{\mu\nu}) u^\mu u^\nu$$

CONCLUSION

- Code permettant de générer les formes d'ondes à l'infini (sans réaction de radiation) pour tous types d'orbites.
- Code pour le problème de la chute radiale avec réaction de radiation.

PERSPECTIVES

- Finaliser le travail sur la réaction de radiation.
- Passer à l'évolution orbitale dans le cas d'orbites génériques.
- Jauge harmonique

Merci